



تأثیر پانل‌های فولادی موجدار ذوزنقه‌ای و نوع عملکرد تیر همبندی بر رفتار لرزه‌ای سیستم‌های دیوار برشی فولادی همبند

فرید آجری، فرشته امامی*

دانشکده مهندسی عمران، واحد علوم و تحقیقات، دانشگاه آزاد اسلامی، تهران، ایران.

تاریخچه داوری:

دریافت: ۱۴۰۰/۰۳/۱۹

بازنگری: ۱۴۰۰/۱۰/۱۲

پذیرش: ۱۴۰۰/۱۰/۱۳

ارائه آنلاین: ۱۴۰۰/۱۱/۰۸

کلمات کلیدی:

دیوار برشی فولادی

ورق موجدار ذوزنقه‌ای

درجه همبندی

دیوار برشی همبند

تیر همبندی

خلاصه: دیوارهای برشی فولادی یکی از سیستم‌های باربر جانبی است که در چهار دهه اخیر مورد توجه محققین و طراحان قرار گرفته است که یکی از معایب آن محدودیت در ایجاد بازشو در دهانه خود است که می‌توان از دیوار برشی فولادی همبند، به عنوان راه حلی برای رفع این مشکل استفاده کرد. در سال‌های اخیر استفاده از ورق فولادی موجدار در دیوار برشی فولادی مورد توجه قرار گرفته است اما مطالعات محدودی در این زمینه در دیوار برشی همبند وجود دارد. بنابراین در این پژوهش، نمونه‌هایی از دیوار برشی فولادی همبند^۳, ^۶ و ^{۱۲} طبقه که نمادی از ساختمان‌های کوتاه و میان مرتبه هستند در نرم‌افزار آباکوس مدل شدند و تاثیر استفاده از ورق فولادی موجدار ذوزنقه‌ای با جهت‌گیری قائم و افقی، بر ظرفیت باربری، میزان جذب انرژی، درجه همبندی، ضربی رفتار و نسبت شکل‌پذیری، تحت تحلیل بارافون تا دریفت بام ^۴ درصد، بررسی شد؛ همچنین تاثیر افزایش مساحت مقطع و افزایش طول تیر همبندی، در هر سه ارتفاع، مورد ارزیابی قرار گرفت. نتایج نشان داد که استفاده از ورق موجدار قائم و افقی موجب کاهش حداکثر برش پایه، درجه همبندی و جذب انرژی می‌شود. ضربی رفتار و نسبت شکل‌پذیری در نمونه موجدار قائم کاهش و در نمونه موجدار افقی افزایش می‌یابد. همچنین با افزایش طول یا مساحت مقطع تیر همبندی، ظرفیت باربری، ضربی رفتار، نسبت شکل‌پذیری و جذب انرژی کاهش و درجه همبندی در نمونه موجدار قائم افقی افزایش می‌یابد. در ضمن درجه همبندی با افزایش تعداد طبقات، هم در حالت ورق صاف و هم موجدار افزایش می‌یابد.

۱- مقدمه

کششی قطری ناشی از جاری شدن ورق‌های فولادی و تشکیل مفاصل پلاستیک در انتهای تیرها است، همچنین این نوع سیستم نقش اساسی در مقاومت و پایداری سازه در برابر بارهای ثقلی ندارد [۱].

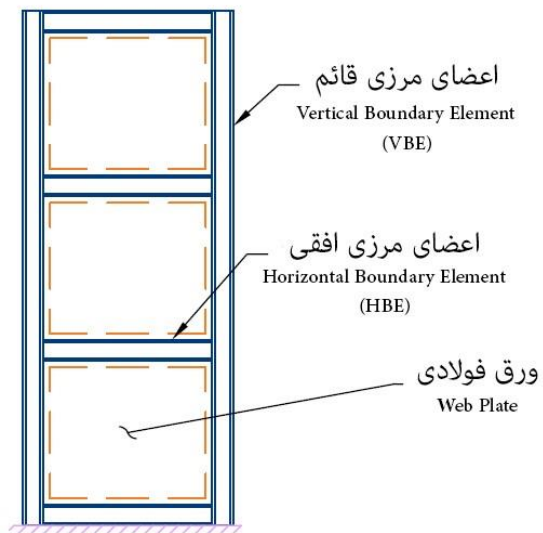
یکی از معایب دیوارهای برشی فولادی محدودیت در ایجاد بازشو در دهانه خود است؛ بنابراین معمولاً این سیستم در اطراف هسته مرکزی ساختمان، که عموماً شامل آسانسور و راه پله است، جایگذاری می‌شود تا از لحاظ عماری ایجاد محدودیت نکند. به دلیل محدودیت‌های طراحی موجود در آین نامه‌ها گاهًا امکان ایجاد دهانه‌های بزرگ مقدور نیست، که در این حالت می‌توان از دیوار برشی فولادی همبند، به عنوان راه حلی برای رفع این مشکل، استفاده کرد. همانطور که در شکل ۲ مشاهده می‌شود دیوار برشی فولادی همبند شامل دو دیوار برشی مجزا است که توسط تیر همبندی به یکدیگر متصل می‌شوند. این سیستم شامل دو نوع اعضای مرزی قائم است؛ اعضای مرزی قائم خارجی (ستون‌های خارجی) که متصل به تیرها و ورق‌های فولادی هستند و اعضای مرزی قائم داخلی (ستون‌های

از سال ۱۹۰۸ و همزمان با زلزله مسینا در ایتالیا که منجر به مرگ ۸۳۰۰ نفر شد، جامعه مهندسین سازه به استفاده از ظرفیت ناحیه غیرالاستیک اعضای سازه‌ای برای استهلاک هر چه بیشتر انرژی روی آوردن؛ از آن زمان این مفهوم به یک پایه و اساس برای طراحی لرزه‌ای تبدیل شد و همچنان آین نامه‌های ساختمانی امروزی از آن استفاده می‌کنند. این امر اجازه می‌دهد تا سیستم‌های مقاوم در برابر بارهای جانبی لرزه‌ای برای نیاز کمتری در مقایسه با آنچه که از آنالیز الاستیک دینامیکی به دست می‌آمد، طراحی شوند. دیوارهای برشی فولادی سیستم‌های باربر جانبی نسبتاً جدیدی هستند، شامل یک قاب فولادی که یک ورق فولادی در هر طبقه بین اعضای مرزی افقی (تیرها) و اعضای مرزی قائم (ستون‌ها) متصل شده است؛ نمای کلی دیوار برشی در شکل ۱ قابل مشاهده است. در این نوع سیستم، فرایند جذب انرژی به صورت ترکیبی از گسیختگی در میدان

* نویسنده عهدهدار مکاتبات: f-emami@srbiau.ac.ir

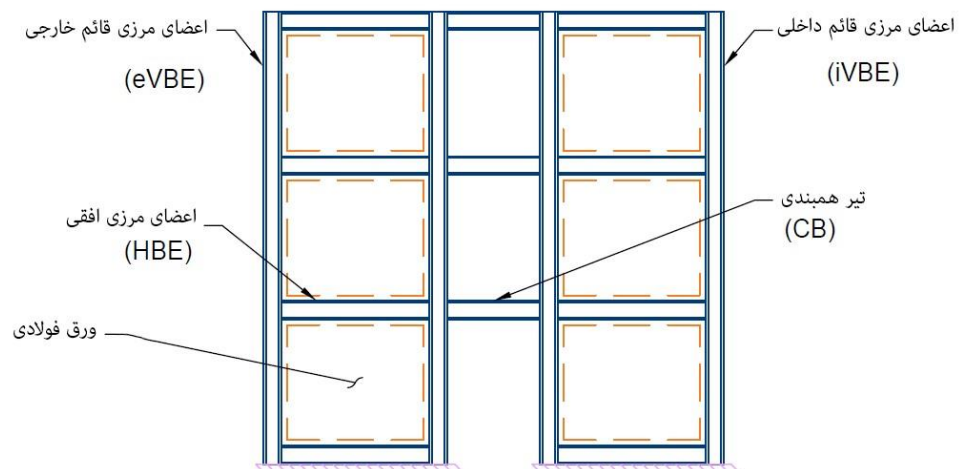
حقوق مؤلفین به نویسنده‌گان و حقوق ناشر به انتشارات دانشگاه امیرکبیر داده شده است. این مقاله تحت لیسانس آفرینندگی مردمی (Creative Commons License) در دسترس شما قرار گرفته است. برای جزئیات این لیسانس، از آدرس <https://www.creativecommons.org/licenses/by-nc/4.0/legalcode> دیدن فرمائید.





شکل ۱. اعضای تشکیل دهنده دیوار برشی فولادی [۱]

Fig. 1. Diagram of Steel Plate Shear Wall



شکل ۲. دیوار برشی فولادی همبند [۱]

Fig. 2. Diagram of Coupled Steel Plate Shear Wall

پرداختند. آن‌ها با ایده استفاده از مقاومت پسا-کمانش ورق‌های فولادی نازک، یک سازه تک دهانه سه طبقه فولادی با دیوارهای برشی فولادی نازک ساخت نشده، که با استفاده از جوش به اعضای پیرامونی متصل شده بود را تحت بارگذاری چرخه‌ای مورد آزمایش قرار دادند. نتایج آزمایش نشان داد که استفاده از دیوار برشی فولادی با صفحات فولادی نازک برای مقاومت در برابر بارهای لرزه‌ای امکان‌پذیر است. همچنین استفاده از یک دیوار برشی فولادی نازک ساخت نشده در قاب‌های فولادی باعث افزایش سختی سیستم، ظرفیت برابری و جذب انرژی می‌شود [۸].

در سال ۲۰۰۴ اولین بررسی آزمایشگاهی دیوار برشی فولادی همبند توسط آستانه و ژانو^۶ صورت گرفت. سیستم مقاوم نمونه مورد مطالعه در یک جهت دیوار برشی فولادی همبند و در جهت دیگر سیستم قاب مهاربندی شده فولادی بود. در این پژوهه نمونه‌ها به اندازه نصف نمونه واقعی ساخته شده بودند و برای آزمایش تحت بارگذاری چرخه‌ای یک نمونه دو طبقه و یک نمونه سه طبقه با نسبت دهانه به ارتفاع متفاوت در نظر گرفته شده بود. نتایج نشان دادند هر دو نمونه دارای رفتار کاملاً شکل‌پذیری بودند و توانستند تعداد چرخه‌های زیادی را در حالت پلاستیک تحمل کنند. همچنین رفتار کلی دیوار برشی فولادی خیلی نزدیک به رفتار تیر ورق‌ها تحت برش می‌باشد. در هر دو مورد شکست در سیستم تقریباً در قسمت تیر همبند بالایی اتفاق افتاد؛ همچنین اعضاًی که بارهای ثقلی را تحمل می‌کردند تقریباً در حالت الاستیک باقی ماندند و اعضای تحمل کننده بارهای جانبی، تسلیم شده و در جذب انرژی مشارکت داشتند [۹].

صبوری و قلهکی در سال ۲۰۰۸ دو نمونه دیوار برشی فولادی سه طبقه با ورق‌های جان نازک را، تحت بارگذاری چرخه‌ای، مورد بررسی آزمایشگاهی قرار دادند و دریافتند که نوع اتصال اعضای پیرامونی دیوار برشی فولادی، بر میزان مقاومت، ضربه شکن‌بیندیری و جذب انژوئی موثر است [۱۰].

بورلو^۷ و فاهنستوک در سال ۲۰۱۱ طی بررسی چند سازه ۶ طبقه یک روش طراحی اولیه بر اساس ظرفیت برای دیوارهای برشی فولادی همبند معرفی کردند. در این روش فرض می‌شود صفحه فولادی پیش از ورود سایر اعضا به ناحیه تغییر شکل‌های پلاستیک کاملاً تسلیم شده باشد که در این حالت المان‌های قاب اطراف صفحه فولادی بر اساس ظرفیت نهایی این صفحه طراحی می‌شوند. در این حالت مقطع تیر و ستون‌های قاب پیرامونی در برابر بارهای جانبی مقاومت بالایی داشته و در محدوده الاستیک باقی می‌مانند. پس از محاسبه سهم قاب پیرامونی از برش طبقه با یک تحلیل

داخلي) که علاوه بر تيرها و ورق های فولادی به تيرهای همبندی نيز متصل هستند، که با توجه به ظرفیت طراحی متفاوت اين دو المان، عموما از مقاطع يكسان در طراحی استفاده نمي شود. دیوار برشی فولادی همبند مزاياي دیوار برشی معمولي نظير رفتار چرخهای پايدار، شکل پذيری مناسب و قابلیت جذب انرژی بالا را دارا است [٦].

در کشور ژاپن کمانش المان‌های سیستم مقاوم جانبی مجاز نیست، بنابراین دیوارهای برشی فولادی عموماً به همراه سخت کننده‌هایی در جانور فولادی ساخته می‌شوند. دیوارهای برشی سخت شده، سختی و مقاومت تقریباً برابری با دیوارهای برشی سخت نشده دارند و در عین حال باعث افزایش هزینه ساخت و ضخامت دیوارها می‌شوند [۲]. به همین علت و با توجه به نتایج مطالعات پیشین پیرامون دیوار برشی فولادی با ورق‌های نازک، مانند پژوهش واگنر^۱ در سال ۱۹۳۱ [۳] و باسلر^۲ در سال ۱۹۶۱ [۴] در آمریکا دیوارهای برشی سخت نشده به عنوان پایه سیستم‌های دیوار برشی ویژه در نظر گرفته شده است [۴ و ۵]. یکی از راههای مقاوم‌سازی این دیوارها بهبود رفتار کمانشی آن‌ها با استفاده از سخت کننده‌ها می‌باشد اما از آنجا که هزینه ساخت پانل‌های سخت شده زیاد است و افزایش وزن سازه را به دنبال دارد، ورق‌های برشی موجود را به عنوان جایگزینی مناسب پیشنهاد شده‌اند. این نوع ورق‌ها با بهره‌گیری از سختی برون صفحه‌ای ناشی از هندسه موج‌های ورق دارای مقاومت کمانشی بیشتری نسبت به ورق سخت نشده یا ورق صاف هستند و عملکردی مشابه ورق‌های فولادی با سخت کننده دارند. اولین مطالعه پیرامون رفتار چرخه‌ای غیرالاستیک دیوار برشی فولادی سخت نشده توسط ترومبوش^۳ و کولاک^۴ در سال ۱۹۸۷ صورت گرفت. یک نمونه یک طبقه و تک دهانه تحت ۲۸ چرخه بارگذاری قرار گرفت. آن‌ها یک مدل تحلیلی رفتاری برای توضیح رفتار چرخه‌ای دیوار برشی فولادی ارائه دادند که کاملاً با آزمایش چرخه‌ای همخوانی داشت. مدل پیشنهادی رفتار چرخه‌ای ترکیب با مدل نواری، به خوبی رفتار چرخه‌ای را پیش‌بینی می‌کرد. آن‌ها همچنین دریافتند که اتصال گیردار تیر و ستون به صورت موثری میزان جذب انرژی کلی سیستم را افزایش می‌دهد [۷].

تا سال ۱۹۹۳ استفاده از صفحات فولادی ضخیم در ساخت دیوارهای برشی فولادی رواج داشت. کیسیس^۵ و همکاران در سال ۱۹۹۳ به بررسی آزماسنگاه، استفاده از صفحات نازک فولادی در دیوارهای پرشی، فولادی

1 Wagner

1 Wagner
2 Basler

2 Basic 3 Tromposch

5 Tromp
4 Kulak

5 Caccese

زاویه موج، خرابی دیوار تا پاره شدن ورق گسترش می‌یابد. همچنین در مراحل اولیه بارگذاری نمونه با زاویه موج بزرگتر مقاومت بیشتری نشان داد اما بعد از ایجاد شکست در ورق فولادی، افت مقاومت شدیدی مشاهده شد. با افزایش زاویه موج تا ۶۰ درجه، مقاومت نهایی حدود ۳۷٪ افت کرد. همچنین با افزایش زاویه موج‌ها از ۳۰ به ۶۰ درجه، مقاومت الاستیک ۲۰ درصد و جذب انرژی $\frac{22}{3}$ درصد کاهش یافت [۱۴].

بورلو و فاھنستوک^۱ در سال ۲۰۱۷ دو نمونه دیوار برشی فولادی همبند ۳ طبقه را، تحت بارگذاری چرخه‌ای مورد آزمایش قرار دادند. یکی از نمونه‌ها دارای تسلیم خمی و دیگری نیمه خمی- بشی بود. نتایج نشان داد که هر دو نمونه به دریفت جانبی ۴٪ رسیدند و کارایی بسیار مناسبی را از خود نشان دادند. در هر دو نمونه سختی داخلی زیاد، شکل‌پذیری مناسب و جذب انرژی بالا مشاهده شد. همچنین دریافتند که در نمونه با تیر همبندی قوی‌تر می‌توان از اعضای سبک‌تری استفاده کرد که به بهبود جزئی در مقاومت، سختی و جذب انرژی منجر می‌شود. همچنین خرابی هر دو نمونه زمانی رخ داد که ستون‌ها در محل اتصال به کف دچار شکست شدند. همچنین تیرها با تسلیم خمی در انتهای خود تشکیل مفصل پلاستیک دادند و در جذب انرژی شرکت داشتند [۱۵].

شاپانفر و همکاران در سال ۲۰۱۹ به بررسی تاثیر استفاده از مهاربازویی در دیوار برشی فولادی همبند برای کنترل جابجایی‌ها در سازه‌های بلند پرداختند. نتایج نشان داد که محل مهاربازویی نسبت به صلبیت آن از اهمیت بیشتری برخوردار است به نحوی که ماکریم عملکرد زمانی است که در ارتفاع میانه سازه قرار بگیرد [۱۶]. با بررسی مطالعات انجام شده پیشین، نیاز به ارزیابی بیشتر در زمینه تاثیر استفاده از ورق‌های فولادی موجدار ذورنقه‌ای در دیوار برشی فولادی همبند و تاثیر عملکرد تیر پیوند احساس می‌گردد، بنابراین در این پژوهش، نمونه‌هایی از دیوار برشی فولادی همبند ۳، ۶ و ۱۲ طبقه که نمادی از ساختمان‌های کوتاه و میان مرتبه هستند در نرم‌افزار آباکوس^۲ مدل شده‌اند و تاثیر استفاده از ورق فولادی موجدار ذورنقه‌ای با موج، قائم و افقی در آن‌ها، بر ظرفیت باربری، میزان جذب انرژی، درجه همبندی، ضربی رفتار و نسبت شکل‌پذیری، تحت تحلیل استاتیکی غیرخطی تا دریفت بام ۴ درصد، بررسی شد؛ همچنین تاثیر عملکرد تیر همبند، در هر سه ارتفاع، مورد ارزیابی قرار گرفت.

خطی، ماقبی برش سه‌هم صفحه فولادی است. در دیوارهای برشی همبند، سه‌هم بیشتری توسط قاب پیرامونی تحمل می‌شود؛ در نتیجه صفحات طراحی شده ضخامت کمتری خواهند داشت و به دنبال آن تیرهای طبقات، که باید تحمل کافی برای تحمل میدان کششی صفحات فولادی را داشته باشند، نیز مقاطع سبک‌تری خواهند داشت. با نظر گرفتن مقاطعی برای تیر طبقات و تیر همبند و با فرض تشکیل مفاصل پلاستیک در سطح مقاومت پلاستیک سیستم و لنگرهای پلاستیک تیرها، برش و لنگر واردہ به ستون مشخص شده و مقاطع ستون‌ها نیز مشخص خواهند شد [۱۱].

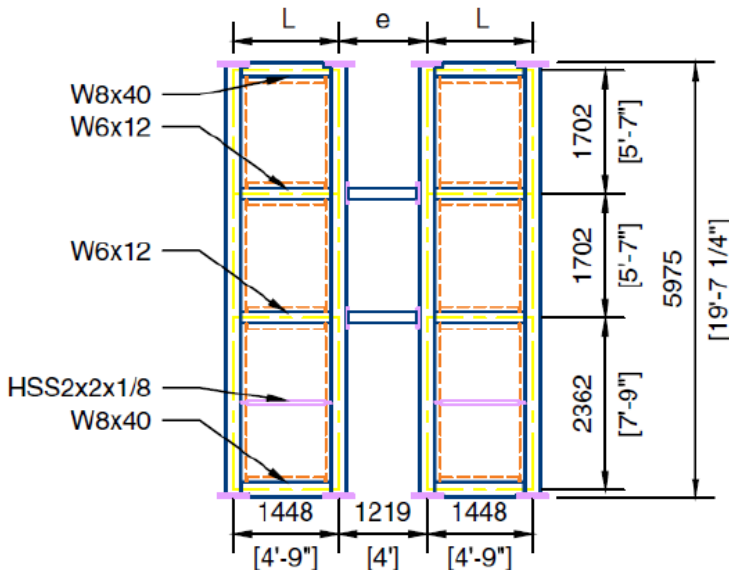
اما و همکاران در سال ۲۰۱۳ به بررسی آزمایشگاهی سختی، مقاومت و نسبت شکل‌پذیری و ظرفیت جذب انرژی در دیوارهای برشی فولادی پرداختند. آن‌ها در این آزمایش ۳ نوع دیوار برشی شامل نمونه دارای ورق صاف، موجدار ذورنقه‌ای عمودی و افقی را تحت اثر بارگذاری چرخه‌ای بررسی کردند. نتایج آزمایش نشان از سختی خارج از صفحه بالا، مقاومت فولادی موجدار تراز اویه دریفت ۵ الی ۷٪ توانست باربری خود را ادامه دهد که این میزان برای دیوار صاف ۳ تا ۵٪ بود؛ همچنین میزان جذب انرژی در دیوار برشی فولادی موجدار ۱/۵۲ برابر نمونه سخت نشده بود. مورد مهم دیگر دست یافتن به این اصل بود که می‌توان از روش اندرکنش قاب و صفحه برای طراحی دیوار برشی فولادی موجدار استفاده کرد [۱۲].

قله‌کی و قدکساز در سال ۲۰۱۶ به بررسی عملکرد طول تیر همبند در سیستم دیوار برشی فولادی همبند پرداختند. آن‌ها ۳ دیوار برشی ۳، ۱۰ و ۱۵ طبقه را تحت تحلیل دینامیکی غیرخطی مورد بررسی قرار دادند و سه طول $1/25$ ، $2/5$ و $3/75$ متر را برای طول تیر همبند در نظر گرفتند. نمونه‌ها تحت ۳ زلزله نورثربیج، لوما پریتا و طبس آنالیز شدند. نتایج حاکی از آن بود که افزایش طول تیر همبند باعث افزایش پریود و دریفت سازه و کاهش برش پایه می‌شود. همچنین مشاهده شد که افزایش طول تیر همبند اثرات کاهشی و افزایشی بر درجه همبندی دارد به طوری که با افزایش ارتفاع در سازه‌ها با طول پیوند $1/25$ ، $2/5$ و $3/75$ متر درجه همبندی به ترتیب کاهش، افزایش و افزایش می‌یابد. با افزایش طول تیر همبند، در یک سوم میانی ارتفاع سازه‌ها از سازه میان مرتبه به بلندمرتبه، برش افزایش می‌یابد [۱۳].

حسین زاده و همکاران در سال ۲۰۱۷ به بررسی آزمایشگاهی ۳ نمونه دیوار برشی فولادی موجدار با زاویه‌های موج ۳۰، ۴۵ و ۶۰ درجه پرداختند. آن‌ها در این آزمایش دریافتند که در دیوارهای برشی موجدار توسعه میدان کششی، تسلیم دیوار و خرابی‌ها وابسته به هندسه موج می‌باشد که با افزایش

1 Fahnestock

2 Abaqus



شکل ۳. مشخصات کلی دیوار برشی فولادی در آزمایش بورلو [۱۵]

Fig. 3. The General Specifications of Steel Plate Shear Wall in Borrelo's Experiment

با وجود اینکه می‌توان برای مدل‌سازی اعضای مرزی از المان Beam استفاده کرد اما برای جلوگیری از وقوع کمانش موضعی در آن‌ها، برای مدل‌سازی ورق و المان‌های مرزی از المان Shell S4R که یک المان ۴ گره‌ای دو انحنایی با انتگرال کاهش یافته است، در مدل‌سازی استفاده گردید. به منظور ساده‌سازی از مدل پلاستیسیته دو خطی با سخت شوندگی کینماتیکی^۱ و تابع فون میسز استفاده شد. نمای کلی مدل در شکل ۵ قابل مشاهده است. شکل ۶ مقایسه نتایج رفتاری نمونه آزمایشگاهی و نمونه مدل‌سازی شده را نشان می‌دهد که میزان خطا در مقدار ماقریم آن $\frac{3}{2}$ است. کانتورهای مربوط به تنش فون میسز و کرنش پلاستیک معادل مربوط به انتهای بارگذاری نیز در شکل ۷ آورده شده است.

درجه همبندی^۲ مقایسی ساده برای بیان میزان هماهنگی رفتار بین دو دیوار برشی همبند شده می‌باشد که با استفاده از پژوهش بورلو و فاهنستوک مقدار درجه همبندی طبق رابطه (۱) تعریف می‌شود [۱۱]:

$$DC = \frac{M_{coup}}{M_{coup} + \sum M_{pier}} \quad (1)$$

2 Kinematic

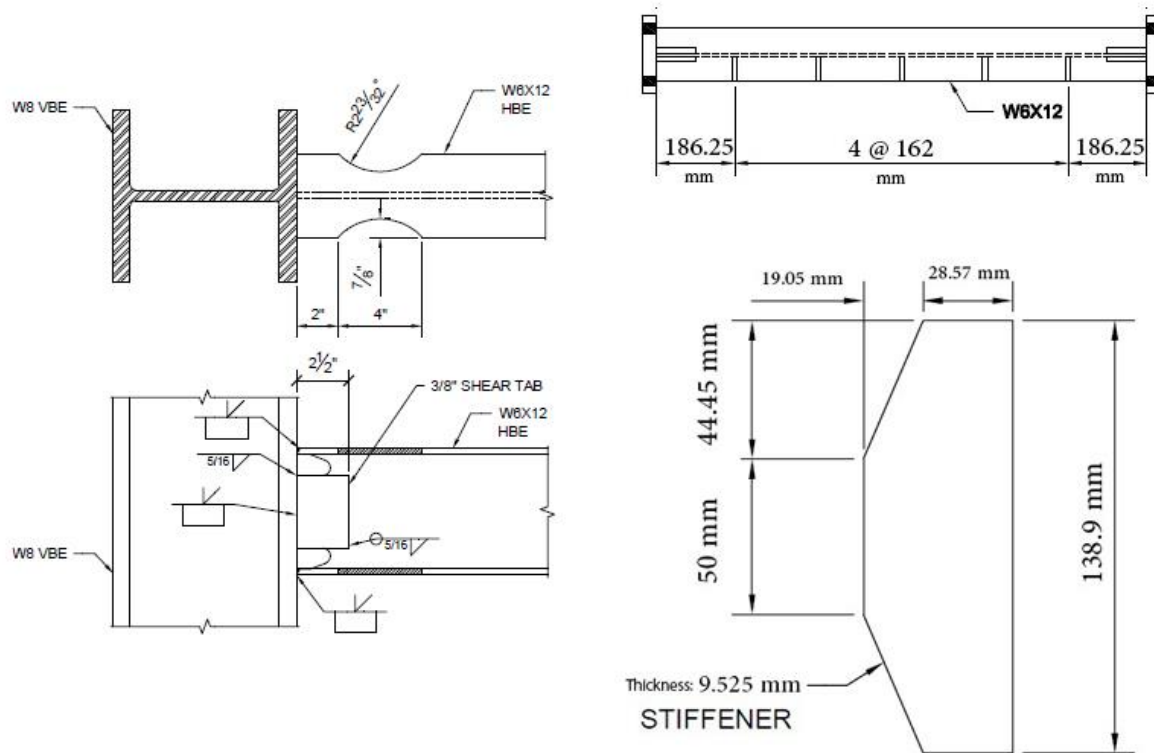
3 DC: Degree of Coupling

۲- صحبت‌سنگی مدل‌سازی در نرم‌افزار

به منظور صحبت‌سنگی مدل‌سازی انجام شده در نرم‌افزار آباکوس، یک نمونه دیوار برشی فولادی همبند ۳ طبقه که توسط بورلو و فاهنستوک در سال ۲۰۱۷ و با مقیاس $1/43$ ، تحت بارگذاری چرخه‌ای مورد آزمایش قرار گرفته است [۱۵]، انتخاب و در نرم‌افزار آباکوس مدل شدند. ابعاد و اندازه‌های المان‌های دیوار در شکل ۳ و همچنین مشخصات سخت کننده جان تیر همبندی و اتصال تیر به ستون که از نوع RBS^۱ است، در شکل ۴ قابل مشاهده است. اتصال ستون‌ها به تراز کف از نوع گیردار است و همچنین بارگذاری چرخه‌ای وارد در تراز بام، در شکل ۵ آورده است که با توجه به محدودیت‌های ناشی از جک‌های هیدرولیکی و به منظور جلوگیری از ایجاد ارتباط بین آن‌ها، تیر همبندی تراز بام حذف شده است.

مشخصات مصالح در جدول ۲ آورده شده است. همچنین مدول الاستیسیته برابر با 200 گیگاپاسکال و ضریب پواسون برابر 0.3 است. مشخصات پلاستیک ورق‌ها مطابق با فولاد A36 و اعضای پیرامونی مطابق با فولاد A992 در نرم‌افزار آباکوس و در بخش مشخصات پلاستیسیته تعریف شد [۱۸ و ۱۷].

1 Reduced Beam Section



شکل ۴. مشخصات سخت کننده جان تیر همبندی و اتصال [۱۵] RBS

Fig. 4. The Specifications of Coupling Beam Stiffener and RBS Details

جدول ۱. بارگذاری چرخه‌ای مورد استفاده در آزمایش بورلو [۱۵]

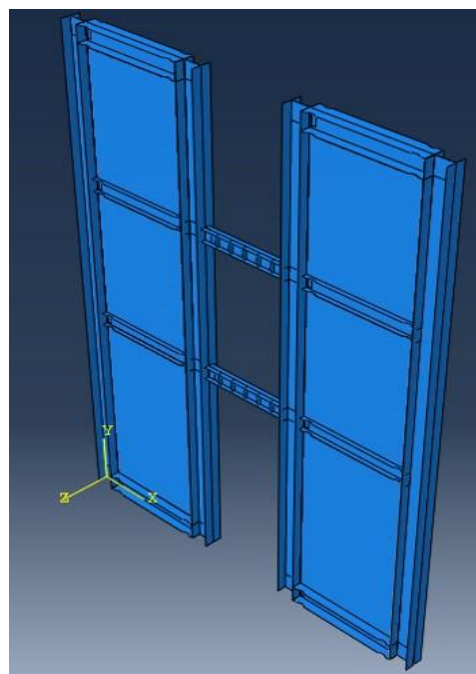
Table 1. Cyclic Load From Borrelo's Experiment

Drift Level	# of Cycles
0.1%	2
0.25%	2
0.5%	2
1.0%	2
1.5%	2
2.0%	2
2.5%	2
3.0%	2
3.5%	2
4.0%	2

جدول ۲. مشخصات مصالح مدل صحتسنجی ۳ طبقه [۱۵]

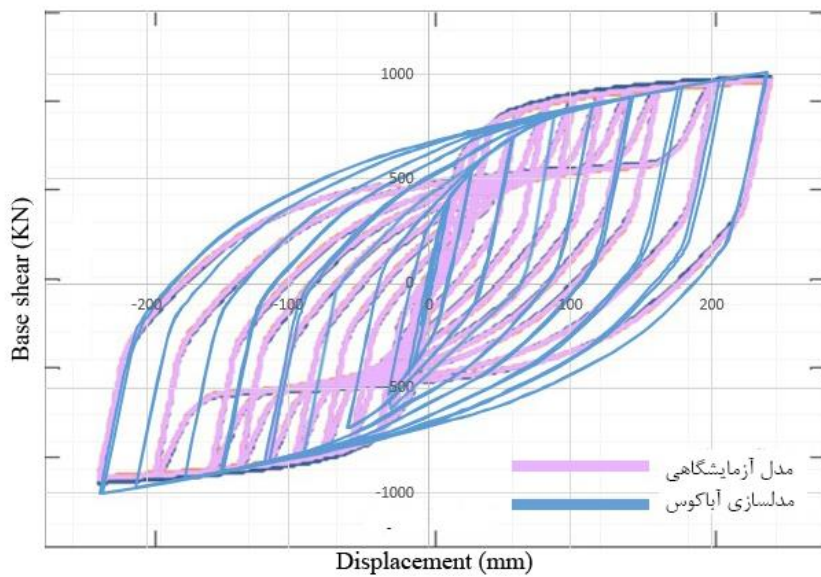
Table 2. The Specifications of the 3-Story Validation Model Materials

المان	تنش تسلييم (مگاپاسکال)		تنش نهايى (مگاپاسکال)	
	جان	بال	جان	بال
W6×12	۳۷۴	۳۵۶	۴۷۸	۴۶۷
W8×40	۴۲۵	۳۶۲	۵۱۶	۵۰۱
W8×48	۳۸۲	۳۴۶	۴۹۱	۴۷۷
W8×58	۳۷۱	۳۳۰	۴۹۹	۴۸۵
ورق فولادى	۱۸۹		۳۳۰	



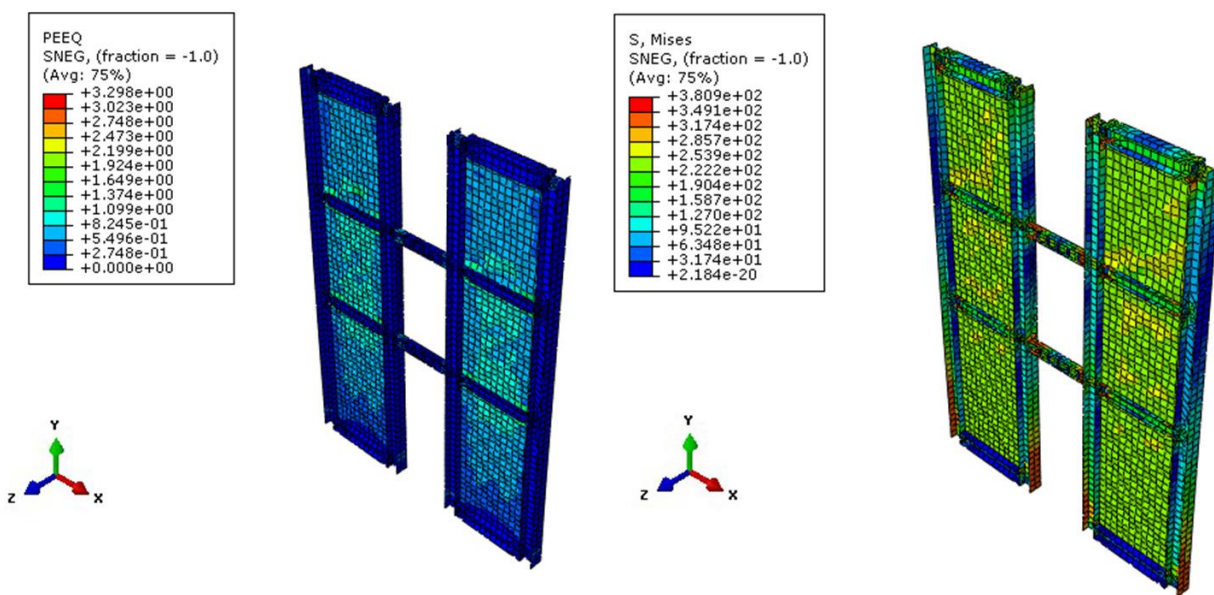
شكل ۵. نمای کلی مدل صحتسنجی ۳ طبقه

Fig. 5. Overview of the 3-Story Validation Model



شکل ۶. مقایسه نتایج عددی حاصل از مدل سازی در آباکوس با نتایج آزمایشگاهی ارائه شده توسط بورلو

Fig. 6. The Comparison Numerical Results from the Modeling in ABAQUS and Experimental Results Provided by Borrelo



شکل ۷. a) Von Mises b) PEEQ

Fig. 7. a) Von Mises b) PEEQ

جدول ۳. درجه همبندی حاصل از تحلیل عددی و آزمایشگاهی [۱۵]

Table 3. Degree of Coupling Resulting from Numerical and Experimental Analysis

نمونه	درجه همبندی
آزمایشگاهی	۰/۵
عددی	۰/۵۰۳

با توجه به اینکه مدل ۳ طبقه ساخته شده در آزمایش بورلو با مقیاس ۰/۴۳ است، مدل‌های ۶ و ۱۲ طبقه نیز، به منظور یکسان بودن مقیاس مدل‌ها، با مقایس ۰/۴۳ نسبت به طراحی، مدل‌سازی شدند. در تمامی مدل‌ها برای ورق‌های فولادی از فولاد A36 و برای سایر اعضا از فولاد A992 استفاده شده است. همچنین تیر همبند تراز بام که در مدل آزمایشگاهی، به علت محدودیت‌های ناشی از جک هیدرولیکی، حذف شده بود در همه مدل‌های آباکوس، مطابق با مشخصات طراحی اولیه، مدل شده است. در مورد عملکرد AISIC تیر همبند به مانند تیر پیوند در مهاربندهای واگر، طبق آیین نامه اگر طول تیر همبند کمتر از $1/6$ برابر M_p/V_p باشد، تیر همبند رفتار بر بشی خواهد داشت و چنانچه طول تیر همبند بزرگ‌تر از $2/6$ برابر M_p/V_p باشد رفتار تیر همبند خمی خواهد بود و برای حالتی که طول تیر همبند بین این دو مقدار باشد، رفتار تیر همبند خمی – بر بشی خواهد بود [۵] که در آن می‌باشد. بر این اساس مدل اولیه دارای عملکرد خمی – بر بشی است و برای بررسی عملکرد خمی تیر همبند، ۲ مدل با طول پیوند افزایش یافته مدل‌سازی و بررسی شدند. همچنین برای بررسی عملکرد بر بشی دو نمونه با مقطع تیر همبند متفاوت و با طول پیوند یکسان نسبت به مدل اولیه، در نظر گرفته شد.

در نامگذاری مدل‌ها در جدول ۴، اعداد ابتدایی بیانگر تعداد طبقات، عبارات P و TC به ترتیب بیانگر ورق فولادی صاف^۱ و مجذد ذوزنقه‌ای^۲ می‌باشد. همچنین حروف V و H به ترتیب بیانگر عمودی و افقی بودن موج ورق‌های فولادی است. عبارات CL و CB نیز بیانگر طول تیر همبندی و مقطع تیر همبندی است و اعداد بعد از آن بیانگر میزان درصد افزایش آن است.

1 Plannar

2 Trapezoidally Corrugated

که در آن M_{coup} لنگر ناشی از همبندی دو دیوار است که از رابطه (۲) به دست می‌آید و M_{pier} مجموع لنگر پایه‌های شرقی و غربی می‌باشد [۱۹].

$$M_{coup} = \frac{1}{2}(L + e)[P_{west} - P_{east}] \quad (2)$$

که در آن L عرض دهانه دیوار، e طول تیر همبندی می‌باشد. P_{west} نیز به ترتیب نیروی محوری عمودی دیوار شرقی و غربی می‌باشد. در جدول ۳ درجه همبندی حاصل از مدل‌سازی در آباکوس و آزمایش بورلو و فاھنستوک آورده شده است. درجه همبندی در طول بارگذاری محاسبه شده و میانگین آن در طول بارگذاری به عنوان درجه همبندی نمونه در نظر گرفته می‌شود [۱۹].

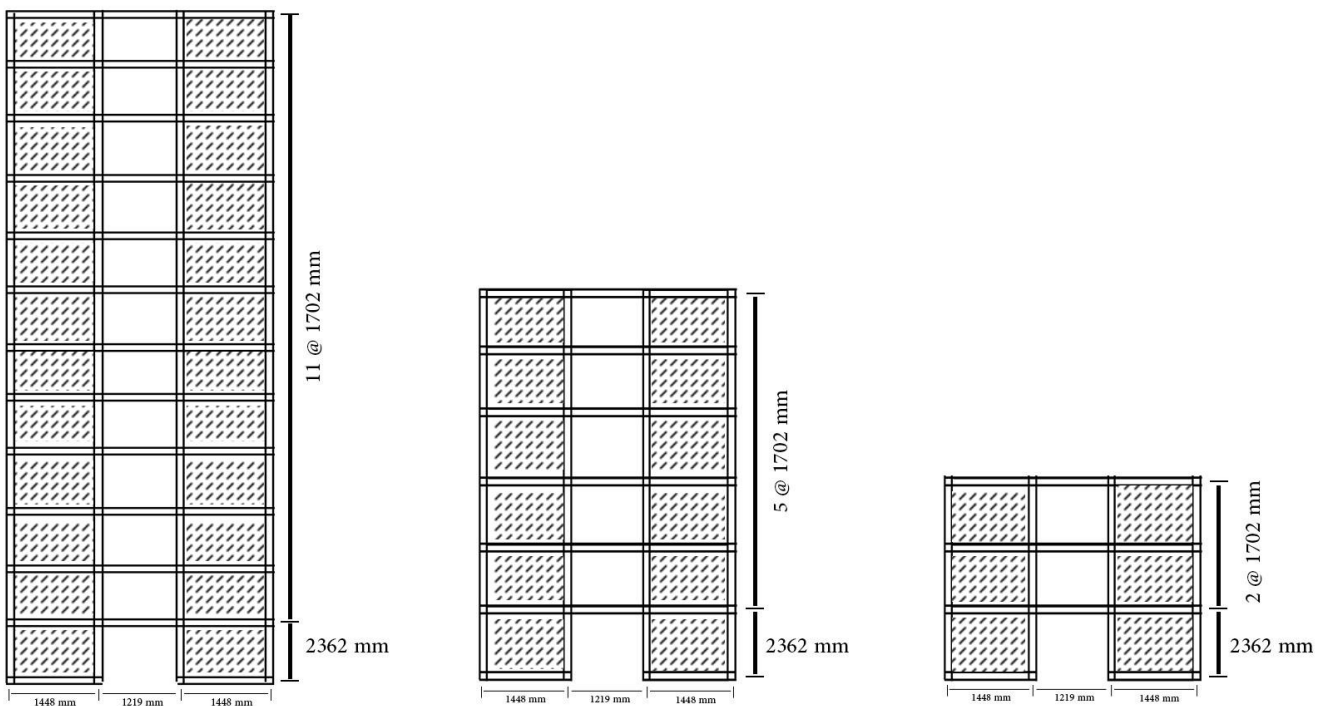
۳- فرضیات و مدل‌های مورد مطالعه

در این پژوهش از مشخصات نمونه ۳ طبقه آزمایش بورلو و همچنین نمونه‌های ۶ و ۱۲ طبقه طراحی شده در تز دکتری بورلو، برای مدل‌سازی نمونه‌ها استفاده شده است. ۹ مدل برای بررسی تاثیر استفاده از ورق‌های موجودار ذوزنقه‌ای با موج قائم و افقی، ۶ مدل برای بررسی اثر افزایش طول تیر همبندی و ۶ مدل نیز برای بررسی اثر افزایش مساحت مقطع تیر همبندی مدل‌سازی شدند که مشخصات مدل‌ها در جدول ۴ و شکل ۸ آورده شده است. رفتار مدل‌ها تا دریفت ۴٪ مورد بررسی قرار گرفت که این دریفت هم از نظر ۱۶-۳۴۱ AISC به عنوان حداقل دریفت قاب‌های خمی و بیژه مطرح شده است [۲۰]. همچنین در پژوهش‌های دیگری حتی تا دریفت ۵٪ رفتار دیوارهای بر بشی فولادی مورد توجه قرار گرفته است [۲۱ و ۲۲].

جدول ۴. مشخصات نمونه‌های مدل‌سازی شده در آباکوس مطابق مرجع [۱]

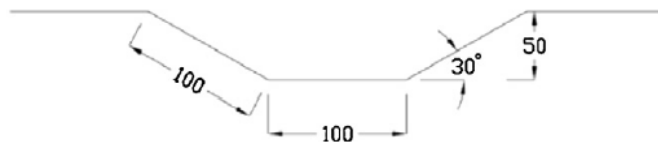
Table 4. The Specifications of the Modelled Samples in ABAQUS

نوع ورق فولادی	ضخامت ورق فولادی (میلی متر)	عملکرد تیر همبند	عملکرد تیر همبند	تیر همبندی	تیر طبقات	ستون داخلی	ستون خارجی	تعداد طبقه	المان مدل
صفاف	۱/۱۶	- خمشی برشی	- خمشی برشی	W6×12	W6×12	W8×48	W8×58	۳	3-P
موجدار قائم	۱/۱۶	- خمشی برشی	- خمشی برشی	W6×12	W6×12	W8×48	W8×58	۳	3-TC-V
موجدار افقی	۱/۱۶	- خمشی برشی	- خمشی برشی	W6×12	W6×12	W8×48	W8×58	۳	3-TC-H
صفاف	۳/۱۷۵	- خمشی برشی	- خمشی برشی	W18×50	W18×50	W24×229	W24×279	۶	6-P
موجدار قائم	۳/۱۷۵	- خمشی برشی	- خمشی برشی	W18×50	W18×50	W24×229	W24×279	۶	6-TC-V
موجدار افقی	۳/۱۷۵	- خمشی برشی	- خمشی برشی	W18×50	W18×50	W24×229	W24×279	۶	6-TC-H
صفاف	۵/۵۶	- خمشی برشی	- خمشی برشی	W18×86	W18×86	W36×652	W36×800	۱۲	12-P
موجدار قائم	۵/۵۶	- خمشی برشی	- خمشی برشی	W18×86	W18×86	W36×652	W36×800	۱۲	12-TC-V
موجدار افقی	۵/۵۶	- خمشی برشی	- خمشی برشی	W18×86	W18×86	W36×652	W36×800	۱۲	12-TC-H
صفاف	۱/۱۶	خمشی	خمشی	W6×12	W6×12	W8×48	W8×58	۳	3-CL10
صفاف	۱/۱۶	خمشی	خمشی	W6×12	W6×12	W8×48	W8×58	۳	3-CL20
صفاف	۳/۱۷۵	خمشی	خمشی	W18×50	W18×50	W24×229	W24×279	۶	6-CL10
صفاف	۳/۱۷۵	خمشی	خمشی	W18×50	W18×50	W24×229	W24×279	۶	6-CL20
صفاف	۵/۵۶	خمشی	خمشی	W18×86	W18×86	W36×652	W36×800	۱۲	12-CL10
صفاف	۵/۵۶	خمشی	خمشی	W18×86	W18×86	W36×652	W36×800	۱۲	12-CL20
صفاف	۱/۱۶	- خمشی برشی	- خمشی برشی	W6×15	W6×12	W8×48	W8×58	۳	3-CB25
صفاف	۱/۱۶	برشی	برشی	W6×20	W6×12	W8×48	W8×58	۳	3-CB65
صفاف	۳/۱۷۵	- خمشی برشی	- خمشی برشی	W18×50	W18×50	W24×229	W24×279	۶	6-CB25
صفاف	۳/۱۷۵	برشی	برشی	W18×50	W18×50	W24×229	W24×279	۶	6-CB65
صفاف	۵/۵۶	- خمشی برشی	- خمشی برشی	W18×86	W18×86	W36×652	W36×800	۱۲	12-CB25
صفاف	۵/۵۶	برشی	برشی	W18×86	W18×86	W36×652	W36×800	۱۲	12-CB65



شکل ۸. ابعاد نمونه های ۳، ۶ و ۱۲ طبقه [۱۵]

Fig. 8. Dimensions of the 3, 6 and 12 Story Samples



شکل ۹. مشخصات موج ذوزنقه ای ورق فولادی [۱۲]

Fig. 9. Geometric properties of trapezoidally corrugated plate

ارزیابی و مقایسه عملکرد نمونه های مورد مطالعه پرداخته می شود.

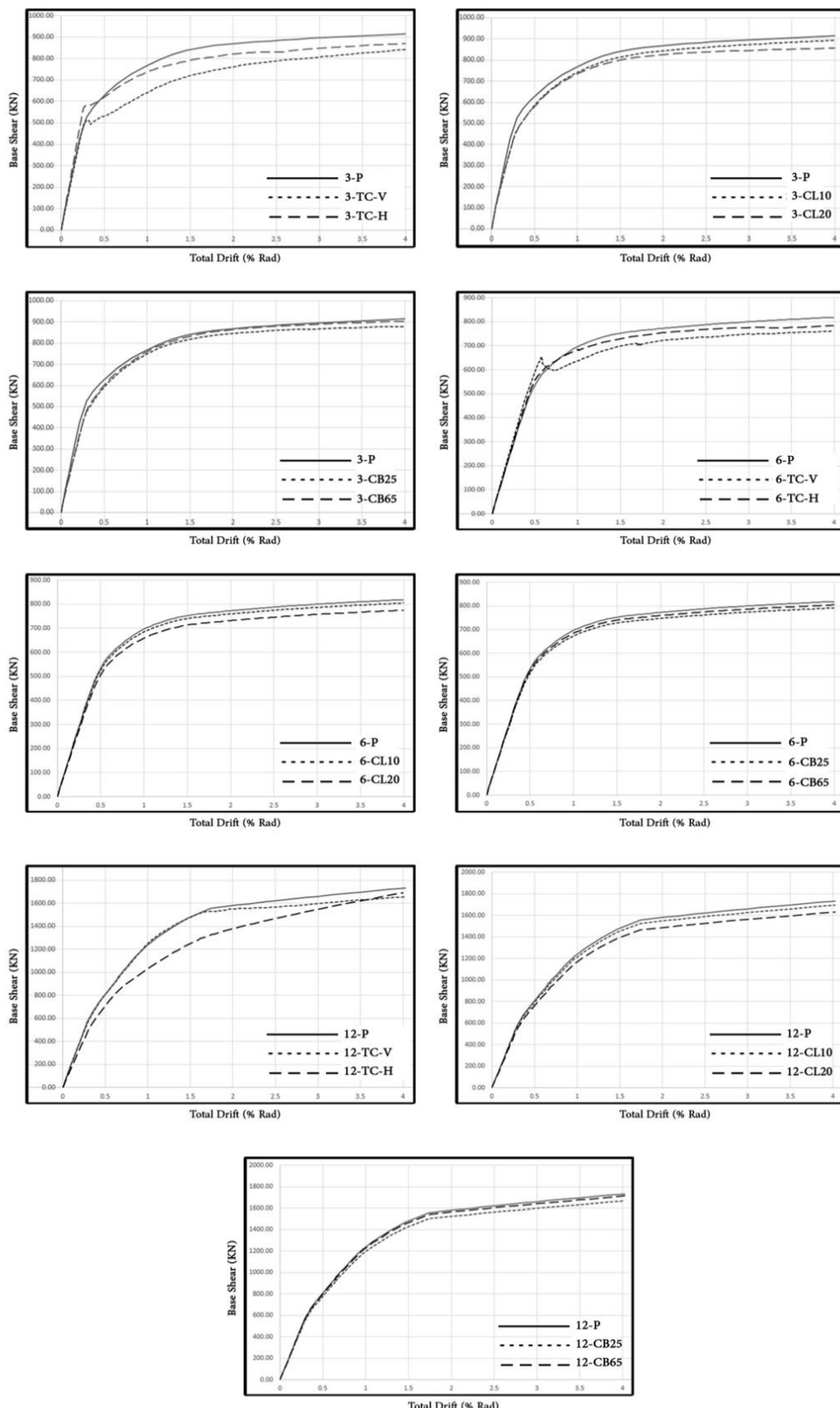
سایر مشخصات مانند اتصال تیر و ستون، سخت کننده تیر همبندی و شرایط مرزی مانند مدل صحتسنجی می باشد. همچنین برای هندسه موج ورق فولادی از هندسه ذوزنقه ای استفاده شده در مدل آزمایشگاهی امامی و همکاران استفاده شده است که مشخصات آن در شکل ۹ آورده شده است [۱۲].

شکل ۱۰ نمودار برش پایه نمونه ها تحت تحلیل بارافزون تا دریفت ۴ درصد را نشان می دهد. همچنین جدول ۵ شامل مقدار حداکثر برش پایه نمونه ها است.

همانطور که مشاهده می شود، در مدل ۳ طبقه با تغییر ورق فولادی از ساده به موجدار قائم و موجدار افقی، مقدار حداکثر برش پایه به ترتیب $\frac{7}{9}$ % و $\frac{4}{9}$ % کاهش می یابد. با افزایش طول تیر همبندی به مقدار ۱۰٪ و ۲۰٪

۴- نتایج و بحث

در این بخش با استفاده از نتایج حاصل از تحلیل های استاتیکی غیرخطی که تحت اثر جابجایی های افزایشی کنترل شده صورت گرفته است، به



شکل ۱۰. منحنی برش پایه به دریفت نمونه‌ها تحت تحلیل بارافروز

Fig. 10. Base Shear Curve to Total Drift of the Samples from Pushover Analysis

جدول ۵. مقدار حداکثر برش پایه نمونه‌ها حاصل از تحلیل بارافزون

Table 5. The Maximum Base Shear Value of the Samples Resulting from Pushover Analysis

نمونه	3-P	3-TC-V	3-TC-H	3-CL10	3-CL20	3-CB25	3-CB65
حداکثر برش پایه (KN)	۹۱۴	۸۴۲	۸۶۹	۸۹۳	۸۵۶	۸۷۹	۹۰۳
نمونه	6-P	6-TC-V	6-TC-H	6-CL10	6-CL20	6-CB25	6-CB65
حداکثر برش پایه (KN)	۸۱۸	۷۶۱	۷۸۲	۸۰۴	۷۷۵	۷۹۱	۸۰۴
نمونه	12-P	12-TC-V	12-TC-H	12-CL10	12-CL20	12-CB25	12-CB65
حداکثر برش پایه (KN)	۱۷۳۱	۱۶۵۶	۱۶۸۹	۱۶۹۵	۱۶۲۹	۱۶۶۷	۱۷۱۲

عبارت دیگر مقدار حداکثر برش پایه در نمونه با ۲۵٪ افزایش مساحت مقطع تیر همبند، کاهش بیشتری نسبت به نمونه با ۶۵٪ افزایش مساحت مقطع تیر همبند دارد.

مقدار حداکثر برش پایه به ترتیب ۲/۲٪ و ۶/۳٪ کاهش یافت و همچنین با افزایش مساحت مقطع تیر همبندی به میزان ۲۵٪ و ۶۵٪ مقدار حداکثر برش پایه به ترتیب ۳/۸٪ و ۱/۲٪ کاهش می‌یابد.

۴-۲- جذب انرژی

جذب انرژی در سیستم‌های باربر جانبی از اهمیت بالایی برخودار است. همانطور که در شکل ۱۱ مشاهده می‌شود، در مدل ۳ طبقه با تغییر ورق فولادی از ساده به موجدار قائم و موجدار افقی، مقدار حداکثر برش پایه به ترتیب ۶/۹٪ و ۴/۲٪ کاهش می‌یابد. با افزایش طول تیر همبندی به مقدار ۱۰٪ و ۲۰٪ مقدار حداکثر برش پایه به ترتیب ۱/۷٪ و ۵/۲٪ کاهش یافت و همچنین با افزایش مساحت مقطع تیر همبندی به مقدار ۲۵٪ و ۶۵٪ مقدار حداکثر برش پایه به ترتیب ۳/۳٪ و ۱/۷٪ کاهش می‌یابد.

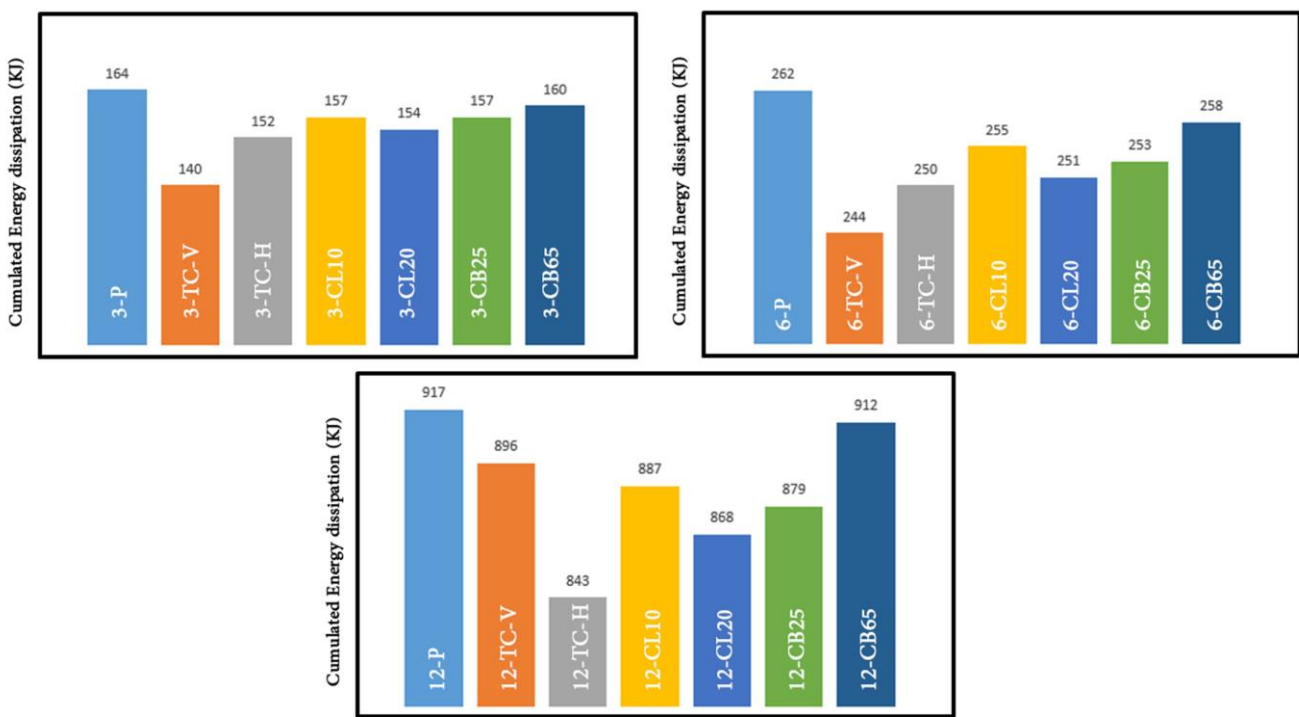
در مدل ۶ طبقه با تغییر ورق فولادی از ساده به موجدار قائم و موجدار افقی، مقدار حداکثر برش پایه به ترتیب ۶/۹٪ و ۴/۲٪ کاهش می‌یابد. با افزایش طول تیر همبندی به مقدار ۱۰٪ و ۲۰٪ مقدار حداکثر برش پایه به ترتیب ۱/۷٪ و ۵/۲٪ کاهش یافت و همچنین با افزایش مساحت مقطع تیر همبندی به مقدار ۲۵٪ و ۶۵٪ مقدار حداکثر برش پایه به ترتیب ۳/۳٪ و ۱/۷٪ کاهش می‌یابد.

در مدل ۶ طبقه با تغییر ورق فولادی از ساده به موجدار قائم و موجدار افقی، مقدار جذب انرژی به ترتیب ۴/۲٪ و ۶٪ کاهش یافت و همچنین با افزایش مساحت مقطع تیر همبندی به مقدار ۲۵٪ و ۶۵٪ مقدار جذب انرژی به ترتیب ۴/۲٪ و ۶٪ کاهش می‌یابد.

در مدل ۱۲ طبقه با تغییر ورق فولادی از ساده به موجدار قائم و موجدار افقی، مقدار حداکثر برش پایه به ترتیب ۴/۳٪ و ۲/۵٪ کاهش می‌یابد. با افزایش طول تیر همبندی به مقدار ۱۰٪ و ۲۰٪ مقدار حداکثر برش پایه به ترتیب ۲٪ و ۵/۸٪ کاهش یافت و همچنین با افزایش مساحت مقطع تیر همبندی به مقدار ۲۵٪ و ۶۵٪ مقدار حداکثر برش پایه به ترتیب ۳/۶٪ و ۱٪ کاهش می‌یابد.

در مدل ۱۲ طبقه با تغییر ورق فولادی از ساده به موجدار قائم و موجدار افقی، مقدار جذب انرژی به ترتیب ۶/۸٪ و ۴/۵٪ کاهش می‌یابد. با افزایش طول تیر همبندی نیز مقدار حداکثر برش پایه، کاهش می‌یابد. همانطور که مشاهده می‌شود با افزایش مساحت مقطع تیر همبند در نمونه ۳ و ۶ و ۱۲ طبقه، در مقدار کاهش حداکثر برش پایه، روند کاهشی مشاهده می‌شود؛ به

نتایج فوق نشان می‌دهد با تغییر ورق فولادی از ساده به موجدار قائم و موجدار افقی، مقدار حداکثر برش پایه کاهش می‌یابد. همچنین با افزایش طول تیر همبندی نیز مقدار حداکثر برش پایه، کاهش می‌یابد. همانطور که مشاهده می‌شود با افزایش مساحت مقطع تیر همبند در نمونه ۳ و ۶ و ۱۲ طبقه، در مقدار کاهش حداکثر برش پایه، روند کاهشی مشاهده می‌شود؛ به



شکل ۱۱. نمودار جذب انرژی نمونه‌ها تحت آنالیز بارافزون

Fig. 11. The Diagram of Energy Absorption of the Samples Resulting from Pushover Analysis

طول تیر همبندی به مقدار ۱۰٪ و ۲۰٪ درجه همبندی به ترتیب ۷/۵٪ و ۱۰٪ کاهش یافت و همچنین با افزایش مساحت مقطع تیر همبندی به مقدار ۲۵٪ و ۶۵٪ درجه همبندی به ترتیب ۶/۱٪ و ۱۰/۳٪ افزایش می‌یابد. در مدل ۱۲ طبقه با تغییر ورق فولادی از ساده به موجدار قائم و موجدار افقی، درجه همبندی به ترتیب ۴۶/۹٪ و ۹/۱٪ کاهش می‌یابد. با افزایش طول تیر همبندی به مقدار ۱۰٪ و ۲۰٪ درجه همبندی به ترتیب ۷٪ و ۹/۴٪ کاهش یافت و همچنین با افزایش مساحت مقطع تیر همبندی به مقدار ۲۵٪ و ۶۵٪ درجه همبندی به ترتیب ۱/۳٪ و ۳/۳٪ افزایش می‌یابد. همانطور که در شکل ۱۲ و ۱۳ مشاهده می‌شود در دیوار برخشی فولادی با ورق جان ساده، با افزایش تعداد طبقات از ۳ به ۶ و ۱۲، درجه همبندی به ترتیب ۱۴٪ و ۳۸/۷٪ افزایش می‌یابد. همچنین در نمونه با ورق جان موجدار قائم، با افزایش تعداد طبقات از ۳ به ۶ و ۱۲، درجه همبندی به ترتیب ۷/۲٪ و ۲۳/۹٪ افزایش می‌یابد. در نمونه با ورق جان موجدار افقی نیز، با افزایش تعداد طبقات از ۳ به ۶ و ۱۲، درجه همبندی به ترتیب ۷/۶٪ و ۲۸/۶٪ افزایش می‌یابد.

طول تیر همبندی به مقدار ۱۰٪ و ۲۰٪ مقدار جذب انرژی به ترتیب ۳/۲٪ و ۵/۳٪ کاهش یافت و همچنین با افزایش مساحت مقطع تیر همبندی به مقدار ۲۵٪ و ۶۵٪ مقدار جذب انرژی به ترتیب ۴/۱٪ و ۰/۵٪ کاهش می‌یابد.

۴-۳- درجه همبندی

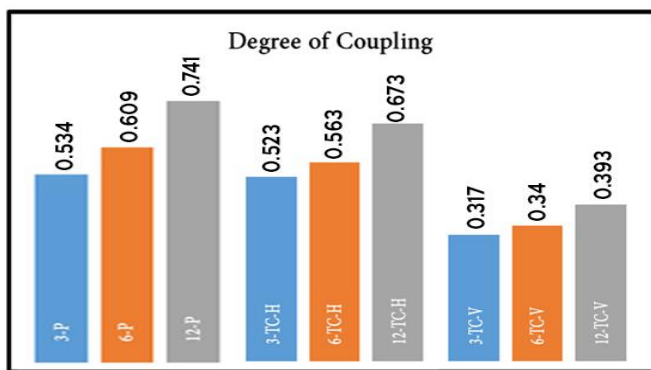
مقادیر درجه همبندی نمونه‌ها بر اساس رابطه (۱)، در جدول ۶ آورده شده است. همانطور که مشاهده می‌شود، در مدل ۳ طبقه با تغییر ورق فولادی از ساده به موجدار قائم و موجدار افقی، درجه همبندی به ترتیب ۱۰٪ و ۴۰/۶٪ و ۲٪ کاهش می‌یابد. با افزایش طول تیر همبندی به مقدار ۱۰٪ و ۲۰٪ درجه همبندی به ترتیب ۱۳/۸٪ و ۱۹/۸٪ کاهش یافت و همچنین با افزایش مساحت مقطع تیر همبندی به مقدار ۲۵٪ و ۶۵٪ درجه همبندی به ترتیب ۴/۸٪ و ۱۰/۴٪ افزایش می‌یابد.

در مدل ۶ طبقه با تغییر ورق فولادی از ساده به موجدار قائم و موجدار افقی، درجه همبندی به ترتیب ۴۴/۱٪ و ۷/۵٪ کاهش می‌یابد. با افزایش

جدول ۶. درجه همبندی نمونه‌ها حاصل از تحلیل بارافزون

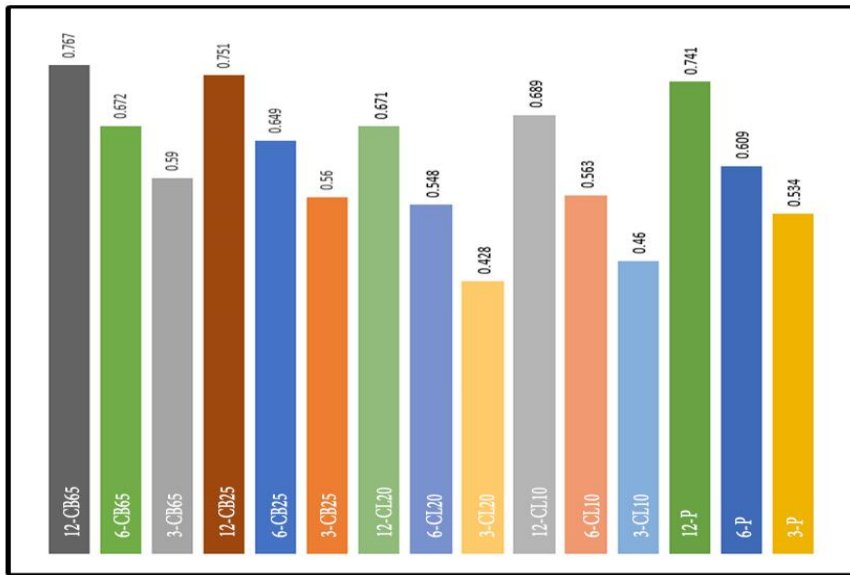
Table 6. Degree of Coupling of the Samples Resulting from Pushover Analysis

نمونه	3-P	3-TC-V	3-TC-H	3-CL10	3-CL20	3-CB25	3-CB65
درجه همبندی	۰/۵۳۴	۰/۳۱۷	۰/۵۲۳	۰/۴۶۰	۰/۴۲۸	۰/۵۶۰	۰/۵۹۰
نمونه	6-P	6-TC-V	6-TC-H	6-CL10	6-CL20	6-CB25	6-CB65
درجه همبندی	۰/۶۰۹	۰/۳۴۰	۰/۵۶۳	۰/۵۶۳	۰/۵۴۸	۰/۵۴۹	۰/۶۷۲
نمونه	12-P	12-TC-V	12-TC-H	12-CL10	12-CL20	12-CB25	12-CB65
درجه همبندی	۰/۷۴۱	۰/۳۹۳	۰/۶۷۳	۰/۶۸۹	۰/۶۷۱	۰/۷۵۱	۰/۷۶۷



شکل ۱۲. نمودار استخراج شده از جدول ۶ شامل مقایسه درجه همبندی نمونه‌ها از لحاظ

Fig. 12. The Chart Extracted from Table 6 Which Includes the Comparison of Degree of Coupling of the Samples in term of Height



شکل ۱۳. نمودار استخراج شده از جدول ۶ شامل مقایسه تاثیر ارتفاع بر درجه همبندی نمونه‌ها

Fig. 13. The Chart Extracted from Table 6 Which Includes the Comparison of the Effect of the Height on the Degree of Coupling of the Samples

افزایش طول تیر همبندی به مقدار ۱۰٪ و ۲۰٪ ضریب رفتار به ترتیب ۳/۱٪ و ۱/۸٪ کاهش یافت و همچنین با افزایش مساحت مقطع تیر همبندی به مقدار ۲۵٪ و ۶۵٪ ضریب رفتار به ترتیب ۱٪ و ۴/۱٪ کاهش می‌یابد.

۴-۵- نسبت شکل پذیری

مقادیر نسبت شکل پذیری در جدول ۸ آورده شده است. همانطور که مشاهده می‌شود، در مدل ۳ طبقه با تغییر ورق فولادی از ساده به مجذد قائم و مجذد افقی، نسبت شکل پذیری به ترتیب ۱۰/۳٪ ۱۰٪ کاهش و ۷/۲۳٪ افزایش می‌یابد. با افزایش طول تیر همبندی به مقدار ۱۰٪ و ۲۰٪ نسبت شکل پذیری به ترتیب ۷٪ و ۳/۶٪ کاهش یافت و همچنین با افزایش مساحت مقطع تیر همبندی به مقدار ۲۵٪ و ۶۵٪ نسبت شکل پذیری به ترتیب ۱/۴٪ و ۶/۸٪ کاهش می‌یابد.

در مدل ۶ طبقه با تغییر ورق فولادی از ساده به مجذد قائم و مجذد افقی، نسبت شکل پذیری به ترتیب ۱۴/۹٪ کاهش و ۵/۲۲٪ افزایش می‌یابد. با افزایش طول تیر همبندی به مقدار ۱۰٪ و ۲۰٪ نسبت شکل پذیری به ترتیب ۹/۴٪ و ۷/۲۵٪ کاهش یافت و همچنین با افزایش مساحت مقطع تیر همبندی به مقدار ۲۵٪ و ۶۵٪ نسبت شکل پذیری به ترتیب ۰/۰٪ و ۹/۹٪ کاهش می‌یابد.

۴-۶- ضریب رفتار

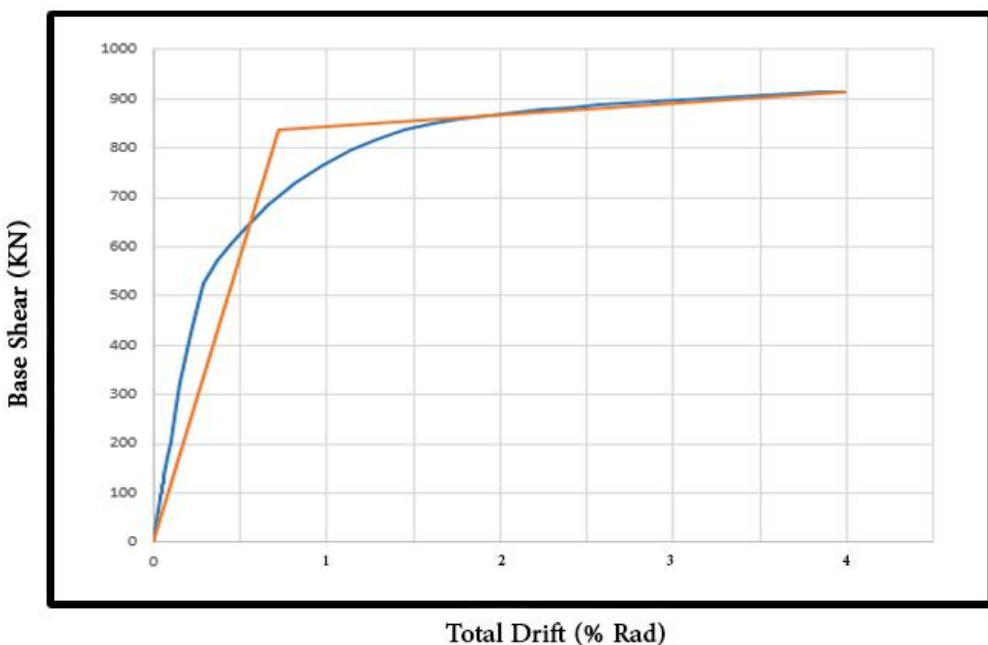
پس از دو خطی کردن نمودار برش پایه به روش یانگ مقدار ضریب رفتار و نسبت شکل پذیری محاسبه می‌شود [۲۴ و ۲۳]. به عنوان نمونه، نمودار دو خطی شده نمونه ۳ طبقه با ورق جان صاف در شکل ۱۴ قابل مشاهده است. مقادیر ضریب رفتار نمونه‌ها در جدول ۷ آورده شده است. همانطور که مشاهده می‌شود، در مدل ۳ طبقه با تغییر ورق فولادی از ساده به مجذد قائم و مجذد افقی، ضریب رفتار به ترتیب ۰/۶٪ ۰/۲٪ کاهش و ۳/۱۲٪ افزایش می‌یابد. با افزایش طول تیر همبندی به مقدار ۱۰٪ و ۲۰٪ ضریب رفتار به ترتیب ۰/۱٪ و ۰/۵٪ کاهش یافت و همچنین با افزایش مساحت مقطع تیر همبندی به مقدار ۲۵٪ و ۶۵٪ ضریب رفتار به ترتیب ۰/۵٪ و ۰/۱۳٪ کاهش می‌یابد.

در مدل ۶ طبقه با تغییر ورق فولادی از ساده به مجذد قائم و مجذد افقی، ضریب رفتار به ترتیب ۰/۸٪ ۰/۸٪ کاهش و ۱/۲٪ افزایش می‌یابد. با افزایش طول تیر همبندی به مقدار ۱۰٪ و ۲۰٪ ضریب رفتار به ترتیب ۰/۹٪ ۰/۸٪ کاهش یافت و همچنین با افزایش مساحت مقطع تیر همبندی به مقدار ۲۵٪ و ۶۵٪ ضریب رفتار به ترتیب ۰/۶٪ و ۰/۴٪ کاهش می‌یابد. در مدل ۱۲ طبقه با تغییر ورق فولادی از ساده به مجذد قائم و مجذد افقی، ضریب رفتار به ترتیب ۰/۸٪ ۰/۸٪ کاهش و ۱/۰٪ افزایش می‌یابد. با افزایش طول تیر همبندی به مقدار ۱۰٪ و ۲۰٪ ضریب رفتار به ترتیب ۰/۱٪ ۰/۰٪ کاهش یافت و همچنین با افزایش مساحت مقطع تیر همبندی به مقدار ۲۵٪ و ۶۵٪ ضریب رفتار به ترتیب ۰/۲٪ ۰/۴٪ کاهش می‌یابد.

جدول ۷. ضریب رفتار نمونه‌ها حاصل از تحلیل بارافزون

Table 7. The Value of the Behavior Factor of the Samples Resulting from Pushover Analysis

نمونه	3-P	3-TC-V	3-TC-H	3-CL10	3-CL20	3-CB25	3-CB65
ضریب رفتار	۶/۲۴	۴/۹۵	۷/۰۱	۵/۱۴	۵/۸۸	۵/۸۹	۵/۳۸
نمونه	6-P	6-TC-V	6-TC-H	6-CL10	6-CL20	6-CB25	6-CB65
ضریب رفتار	۶/۳۰	۴/۴۲	۶/۳۸	۶/۱۸	۶/۲۵	۶/۱۳	۶/۰۳
نمونه	12-P	12-TC-V	12-TC-H	12-CL10	12-CL20	12-CB25	12-CB65
ضریب رفتار	۵/۷۹	۵/۳۹	۶/۴۲	۵/۶۱	۵/۶۸	۵/۷۳	۵/۵۵



شکل ۱۴. نمودار دو خطی شده برش پایه نمونه سه طبقه با پانل فولادی صاف

Fig. 14. Idealized Base Shear Curve of the 3-Story Model with Planar steel panels

جدول ۸. نسبت شکل‌پذیری نمونه‌ها حاصل از تحلیل بارافزون

Table 7. The Ductility Ratio of the Samples Resulting from Pushover Analysis

نمونه	3-P	3-TC-V	3-TC-H	3-CL10	3-CL20	3-CB25	3-CB65
نسبت شکل‌پذیری	۵/۵۱	۴/۹۴	۶/۸۲	۵/۱۲	۵/۳۱	۵/۴۳	۵/۱۲
نمونه	6-P	6-TC-V	6-TC-H	6-CL10	6-CL20	6-CB25	6-CB65
نسبت شکل‌پذیری	۵/۴۲	۴/۶۱	۶/۶۴	۴/۹۱	۵/۰۱	۵/۳۹	۴/۸۸
نمونه	12-P	12-TC-V	12-TC-H	12-CL10	12-CL20	12-CB25	12-CB65
نسبت شکل‌پذیری	۳/۹۷	۲/۴۸	۴/۵۸	۳/۶۶	۲/۸۶	۳/۸۵	۲/۵۲

۵- در هر سه ارتفاع ۳، ۶ و ۱۲ طبقه، ضریب رفتار با تغییر ورق جان از ساده به مجذار قائم کاهش و مجذار افقی افزایش می‌یابد.
 ۶- در تمامی مدل‌های ۳ و ۶ طبقه، نسبت شکل‌پذیری با تغییر ورق جان از ساده به مجذار قائم کاهش و مجذار افقی افزایش می‌یابد. همچنین در مدل ۱۲ طبقه با تغییر ورق جان از ساده به مجذار قائم و مجذار افقی نسبت شکل‌پذیری کاهش می‌یابد.

با توجه به نتایج حاصل از مدل‌سازی مشاهده می‌شود که با افزایش طول تیر همبند و یا به عبارتی با ورود به ناحیه عملکرد خمشی ظرفیت باربری، درجه همبندی، جذب انرژی، ضریب رفتار و نسبت شکل‌پذیری نسبت به عملکرد خمشی-برشی کاهش می‌یابد این در حالیست که در مدل‌ها با عملکرد برشی شاهد افزایش در پارامترهای ذکر شده می‌باشیم. بنابراین با توجه به بهبود رفتار سیستم در عملکرد برشی یا خمشی-برشی نسبت به عملکرد خمشی، استفاده از تیر همبند با رفتار برشی و سپس خمشی-برشی توصیه می‌گردد.

همچنین نتایج حاکی از آن است که استفاده از ورق‌های مجذار ذوزنقه‌ای افقی؛ باعث بهبود ضریب رفتار و نسبت شکل‌پذیری می‌شود و با توجه به عدم خرابی سیستم در انتهای بارگذاری و امكان تحمل دریافت‌های بالاتر در این مدل‌ها، می‌توان نتیجه گرفت که ورق مجذار ذوزنقه‌ای افقی باعث بهبود رفتار سیستم می‌شود؛ اما این موضوع در مورد ورق‌ها با موج قائم صدق نمی‌کند.

همانطور که مشاهده شد در تمامی مدل‌ها، افزایش ارتفاع منجر به افزایش درجه همبندی می‌شود که نشان دهنده رابطه مستقیم بین میزان درجه همبندی و ارتفاع دیوار برشی همبند است.

در مدل ۱۲ طبقه با تغییر ورق فولادی از ساده به مجذار قائم و مجذار افقی، نسبت شکل‌پذیری به ترتیب $12/3\%$ کاهش و $15/3\%$ افزایش می‌یابد. با افزایش طول تیر همبندی به مقدار 10% و 20% نسبت شکل‌پذیری به ترتیب $7/8\%$ و $2/7\%$ کاهش یافته و همچنین با افزایش مساحت مقطع تیر همبندی به مقدار 25% و 65% نسبت شکل‌پذیری به ترتیب 3% و 11% کاهش می‌یابد.

۵- نتیجه‌گیری

در این مقاله به بررسی تاثیر استفاده از ورق فولادی مجذار قائم و افقی ذوزنقه‌ای، تاثیر افزایش طول و مساحت مقطع تیر همبندی بر دیوار برشی فولادی ۳، ۶ و ۱۲ طبقه پرداخته شد و نتایج زیر حاصل شده است:

۱- در هر سه ارتفاع ۳، ۶ و ۱۲ طبقه، ظرفیت باربری، درجه همبندی و جذب انرژی با تغییر ورق جان از ساده به مجذار قائم و مجذار افقی کاهش می‌یابد که این میزان کاهش، در پانل با موج قائم بیشتر است.

۲- در هر سه ارتفاع ۳، ۶ و ۱۲ طبقه، با افزایش مساحت مقطع تیر ظرفیت باربری، درجه همبندی، ضریب رفتار، نسبت شکل‌پذیری و جذب انرژی کاهش می‌یابد.

۳- در هر سه ارتفاع ۳، ۶ و ۱۲ طبقه، با افزایش مساحت مقطع تیر همبندی، ظرفیت باربری، ضریب رفتار، نسبت شکل‌پذیری و جذب انرژی کاهش و درجه همبندی افزایش می‌یابد.

۴- با افزایش ارتفاع در هر سه نوع مدل شامل دیوار فولادی با ورق جان ساده، مجذار قائم و مجذار افقی، درجه همبندی افزایش می‌یابد.

۶- فهرست علائم

علائم انگلیسی

طول همبندی، m	e
مدول الاستیسیته، N/m^2	E
طول دهانه، m	L
درجه همبندی	DC
لنگر ناشی از همبندی، $N.m$	M_{Coup}
لنگر دیوار (شرقی یا غربی)، N/m^2	M_{Pier}
نیروی محوری عمودی	P
لنگر خمی پلاستیک	M_P
نیروی برشی پلاستیک	V_P

منابع

- thin steel-plate shear walls under cyclic load, journal of Structural Engineering, 119(2) (1993) 573-587.
- [9] Q. Zhao, A. Astaneh-Asl, Cyclic behavior of traditional and innovative composite shear walls, Journal of Structural Engineering, 130(2) (2004) 271-284.
- [10] S. Sabouri-Ghom, C.E. Ventura, M.H. Kharrazi, Shear analysis and design of ductile steel plate walls, Journal of Structural Engineering, 131(6) (2005) 878-889.
- [11] D.J. Borello, L.A. Fahnestock, Design and testing of coupled steel plate shear walls, in: Structures Congress 2011, 2011, pp. 736-747.
- [12] F. Emami, M. Mofid, A. Vafai, Experimental study on cyclic behavior of trapezoidally corrugated steel shear walls, Engineering Structures, 48 (2013) 750-762.
- [13] M. Gholhaki, M. Ghadaksaz, Investigation of the link beam length of a coupled steel plate shear wall, Steel and Composite Structures, 20(1) (2016) 107-125.
- [14] L. Hosseinzadeh, F. Emami, M. Mofid, Experimental investigation on the behavior of corrugated steel shear wall subjected to the different angle of trapezoidal plate, The Structural Design of Tall and Special Buildings, 26(17) (2017) e1390.
- [15] D.J. Borello, L.A. Fahnestock, Large-scale cyclic testing of steel-plate shear walls with coupling, Journal of Structural Engineering, 143(10) (2017) 04017133.
- [16] M. Shayanfar, V. Broujerdi, A. Ghamari, Analysis of coupled steel plate shear walls with outrigger system for tall buildings, Iranian Journal of Science and Technology, Transactions of Civil Engineering, 44(1) (2020) 151-163.
- [17] Standard specification for carbon structural steel, A36, ASTM international, West Conshohocken, PA, 2008.
- [18] Standard specification for carbon structural steel, A992, ASTM international, West Conshohocken, PA, 2011.
- [19] D.J. Borello, L.A. Fahnestock, Behavior and mechanisms of steel plate shear walls with coupling, Journal of Constructional Steel Research, 74 (2012) 8-16.
- [20] AISC, AISC 341-16: Seismic provisions for structural steel buildings, American Institute of Steel Construction
- [1] D.J. Borello, Behavior and large-scale experimental testing of steel plate shear walls with coupling, University of Illinois at Urbana-Champaign, 2014.
- [2] Y. Takahashi, Y. Takemoto, T. Takeda, M. Takagi, Experimental study on thin steel shear walls and particular bracings under alternative horizontal load, in: Preliminary Report, IABSE, Symp. On Resistance and Ultimate Deformability of Tsuctures Acted on by Well-defined Repeated Loads, Lisbon, Portugal, 1973.
- [3] H. Wagner, Flat sheet metal girders with very thin webs, Part I-General theories and assumptions, National Advisory Committee for Aeronautics, Technical Memo, 604 (1931).
- [4] K. Basler, Strength of plate girders under combined bending and shear, Journal of the Structural Division, 87(7) (1961) 181-198.
- [5] AISC, Seismic provisions for structural steel buildings, in, AISC Chicago, 2010.
- [6] Minimum Design Loads for Buildings and Other Structures, ASCE, 2010.
- [7] E.W. Tromposch, G.L. Kulak, Cyclic and static behaviour of thin panel steel plate shear walls, Department of civil engineering university of alberta, 1987.
- [8] V. Caccese, M. Elgaaly, R. Chen, Experimental study of

- Research, 122 (2016) 584-594.
- [23] C.-M. Uang, Establishing R (or R w) and C d factors for building seismic provisions, Journal of structural Engineering, 117(1) (1991) 19-28.
- [24] A.J. VASEGHI, N.P. ESMAEILTABAR, Response modification factor of chevron braced frame with pall friction damper, International Journal of Engineering, 26 (2013) 127-135.
- Inc, American Institute of Steel Construction, Chicago, IL, (2016).
- [21] T. Zirakian, J. Zhang, Structural performance of unstiffened low yield point steel plate shear walls, Journal of Constructional steel research, 112 (2015) 40-53.
- [22] M. Bahrebar, M.Z. Kabir, T. Zirakian, M. Hajsadeghi, J.B. Lim, Structural performance assessment of trapezoidally-corrugated and centrally-perforated steel plate shear walls, Journal of Constructional Steel

چگونه به این مقاله ارجاع دهیم

F. Ajori, F. Emami, *The Effect of Trapezoidal Corrugated Steel Plates and Coupling Beam Action on the Seismic Behavior of Coupled Steel Shear Wall Systems*, Amirkabir J. Civil Eng., 54(8) (2022) 2915-2934.

DOI: [10.22060/ceej.2022.20137.7354](https://doi.org/10.22060/ceej.2022.20137.7354)

